

# SURFACES ELLIPTIQUES RÉELLES ET INÉGALITÉ DE RAGSDALE-VIRO

FRÉDÉRIC MANGOLTE

mangolte@univ-savoie.fr  
Fax: (33) 4 79 75 87 42

English title: Real elliptic surfaces  
and Ragsdale-Viro inequality

ABSTRACT. On a real regular elliptic surface without multiple fiber, the Betti number  $h_1$  and the Hodge number  $h^{1,1}$  are related by  $h_1 \leq h^{1,1}$ . We prove that it's always possible to deform such algebraic surface to obtain  $h_1 = h^{1,1}$ . Furthermore, we can impose that each homology class can be represented by a real algebraic curve. We use a real version of the modular construction of elliptic surfaces.

RÉSUMÉ. Pour une surface elliptique réelle régulière et sans fibre multiple, le nombre de Betti  $h_1$  et le nombre de Hodge  $h^{1,1}$  sont liés par l'inégalité  $h_1 \leq h^{1,1}$ . On montre qu'on peut toujours déformer une telle surface algébrique pour obtenir  $h_1 = h^{1,1}$ . De plus, on peut imposer que chaque classe d'homologie soit représentable par une courbe algébrique réelle. On utilise une version adaptée au cas réel de la construction des surfaces elliptiques modulaires.

## 1. INTRODUCTION

Une variété projective (ou quasi-projective)  $X$  est dite réelle ou définie sur  $\mathbb{R}$  lorsque  $X$  est munie d'une involution anti-holomorphe  $\sigma_X$  appelée structure réelle. Dans ce cas, on appelle partie réelle de  $X$  et on note  $X(\mathbb{R})$ , l'ensemble des points fixes de  $\sigma_X$ . Par convention, une surface est projective lisse. Une surface est dite elliptique s'il existe une application holomorphe surjective  $\pi: X \rightarrow \Delta$  où  $\Delta$  est une courbe lisse compacte et la fibre générique de  $\pi$  est une courbe de genre 1. Une telle surface est dite elliptique réelle lorsque  $X$  et  $\Delta$  sont définies sur  $\mathbb{R}$  et  $\pi \circ \sigma_X = \sigma \circ \pi$  où  $\sigma$  est la structure réelle de  $\Delta$ .

D'après un résultat de V. Kharlamov, [Kha], une surface elliptique réelle  $X$  régulière (i.e. telle que  $H^1(X, \mathcal{O}_X) = \{0\}$ ) et sans fibre multiple, vérifie l'inégalité de Ragsdale-Viro

$$(1.1) \quad h_1(X(\mathbb{R})) \leq h^{1,1}(X)$$

où  $h_1(X(\mathbb{R}))$  est le rang du premier groupe d'homologie  $H_1(X(\mathbb{R}), \mathbb{Z}/2)$  de  $X(\mathbb{R})$  et  $h^{1,1}(X) = \dim_{\mathbb{C}} H^1(X, \Omega_X^1)$ . Maintenant, on note  $h_1^{\text{alg}}(X(\mathbb{R}))$  le rang du sous-groupe de  $H_1(X(\mathbb{R}), \mathbb{Z}/2)$  engendré par les classes fondamentales de courbes algébriques réelles (voir [BH]). On a alors  $h_1^{\text{alg}}(X(\mathbb{R})) \leq h_1(X(\mathbb{R}))$ .

Le nombre  $h^{1,1}$  est invariant par déformation et le résultat principal de ce travail est :

**(1.2) Théorème.** *Toute surface elliptique régulière sans fibre multiple peut être déformée sur  $\mathbb{C}$  en une surface elliptique réelle telle que  $h_1^{\text{alg}} = h_1 = h^{1,1}$ .*

*Remarques.* Une surface d'Enriques  $X$  est elliptique régulière avec deux fibres multiples. Pour une telle surface, on a  $h^{1,1}(X) = 10$ , mais il n'existe aucune surface d'Enriques réelle telle que  $h_1^{\text{alg}} = h_1 = 10$ . En revanche, il existe des surfaces d'Enriques réelles telles que  $h_1^{\text{alg}} = 11$  et  $h_1 = 12$ , cf. [DKh] et [MavH].

On ne peut pas espérer une version du théorème 1.2 avec déformation sur  $\mathbb{R}$ . En effet, même si  $h_1(X(\mathbb{R})) = h^{1,1}(X)$ , il peut n'exister aucune déformation sur  $\mathbb{R}$  de  $X$  telle que  $h_1^{\text{alg}} = h^{1,1}$ , voir à ce sujet le comportement des surfaces K3, [Ma].

Le point clé dans la preuve du théorème 1.2 est la construction d'une suite  $\{X_k\}_{k \geq 1}$  de surfaces elliptiques réelles qui vérifient  $h_1^{\text{alg}}(X_k(\mathbb{R})) = h^{1,1}(X_k)$ , cf. théorème 5.3.

Les surfaces  $X_k$  sont des surfaces elliptiques modulaires au sens de T. Shioda [Sho] dont on a adapté les constructions au cas réel. Jusqu'à présent, les surfaces elliptiques modulaires ne semblent pas avoir été utilisées en géométrie algébrique réelle.

Le plan de cet article est organisé comme suit : la section 2 est consacrée aux préliminaires sur les courbes de genre 1 réelles, les références sont [Si3] et [Sil]. Dans la section 3, on montre comment utiliser les constructions analytiques de K. Kodaira [Ko] en réel. Grâce à la classification des fibres singulières des pinceaux réels de courbes elliptiques due à R. Silhol [Si1], on réduit alors le problème à la construction de surfaces elliptiques avec fibres singulières données a priori. La section 4 est consacrée aux surfaces elliptiques modulaires réelles. On adapte les travaux de T. Shioda [Sho] et M. Nori [No] pour réduire le problème à la recherche de groupes Fuchsien arithmétiques particuliers. Enfin, en section 5, on donne les domaines fondamentaux d'une suite de groupes  $\Gamma_k$  qui servent de base à la construction des surfaces  $X_k$ .

Je tiens à remercier V. Kharlamov pour m'avoir indiqué le résultat (1.1) et P. Schmutz Schaller pour son aide dans la construction des domaines fondamentaux de la section 5.

## 2. PRÉLIMINAIRES : COURBES DE GENRE 1 RÉELLES

On note  $\mathcal{H} = \{z \in \mathbb{C} / \Im(z) > 0\}$  le demi-plan supérieur. L'action du groupe  $\text{PSL}(2, \mathbb{R}) = \text{SL}(2, \mathbb{R}) / \{\pm 1\}$  sur  $\mathcal{H}$  est notée  $z \mapsto A.z$  où  $A.z = \frac{az+b}{cz+d}$  si  $A$  est

représenté par  $\begin{pmatrix} a & b \\ c & d \end{pmatrix}$ ,  $ad - bc = 1$ . L'involution  $\sigma_{\mathcal{H}} : z \mapsto -\bar{z}$  de  $\mathcal{H}$  est anti-

holomorphe. On note  $S : \text{SL}(2, \mathbb{R}) \rightarrow \text{SL}(2, \mathbb{R})$ ,  $\begin{pmatrix} a & b \\ c & d \end{pmatrix} \mapsto \begin{pmatrix} a & -b \\ -c & d \end{pmatrix}$ , clairement  $S$  induit une involution sur  $\text{PSL}(2, \mathbb{R})$  que l'on notera encore  $S$ . Soit  $z \in \mathcal{H}$ ,

et soit  $A \in \text{PSL}(2, \mathbb{R})$ , alors  $\sigma_{\mathcal{H}}(A.z) = S(A).z$ .

Soit  $\Gamma$  un groupe Fuchsien (i.e. un sous-groupe discret de  $\mathrm{PSL}(2, \mathbb{R})$ ),  $\sigma_{\mathcal{H}}$  induit une structure réelle sur le quotient  $\mathcal{H}/\Gamma$  si et seulement si  $\sigma_{\mathcal{H}}\Gamma = \Gamma\sigma_{\mathcal{H}}$  i.e. si et seulement si  $\Gamma$  est stable par  $S$ . Dans toute la suite, ce sont les sous-groupes d'indice fini du groupe modulaire  $\mathrm{PSL}(2, \mathbb{Z}) \subset \mathrm{PSL}(2, \mathbb{R})$  qui vont nous intéresser.

Soit  $C$  une courbe projective lisse de genre 1, alors il existe  $\tau \in \mathcal{H}$  tel que  $C = \mathbb{C}/(\mathbb{Z} + \tau\mathbb{Z})$ . Réciproquement, soit  $\tau \in \mathcal{H}$ , on note  $C(\tau)$  la courbe quotient  $\mathbb{C}/(\mathbb{Z} + \tau\mathbb{Z})$ . La fonction modulaire elliptique est notée  $j: \mathcal{H} \rightarrow \mathbb{C}$ . Le signe  $\cong$  signifie isomorphe sur  $\mathbb{C}$ . La proposition suivante est classique.

**(2.1) Proposition.** *Soit  $(\tau, \tau') \in \mathcal{H} \times \mathcal{H}$ , les trois assertions suivantes sont équivalentes.*

- (1)  $C(\tau) \cong C(\tau')$  ;
- (2)  $j(\tau) = j(\tau')$  ;
- (3) il existe  $A \in \mathrm{PSL}(2, \mathbb{Z})$ , tel que  $A.\tau = \tau'$ .

On note donc  $j(C) = j(\tau)$  pour  $\tau$  quelconque tel que  $C(\tau) \cong C$ .

La fonction  $j: \mathcal{H} \rightarrow \mathbb{C}$  est définie sur  $\mathbb{R}$ , c'est-à-dire que  $\forall \tau \in \mathcal{H}, \overline{j(\tau)} = j(\sigma_{\mathcal{H}}(\tau))$ .

**(2.2) Proposition.** *Soit  $C$  une courbe projective lisse de genre 1, les trois assertions suivantes sont équivalentes.*

- (1)  $C$  peut être définie sur  $\mathbb{R}$  ;
- (2)  $j(C) \in \mathbb{R}$  ;
- (3)  $\exists \tau \in \mathcal{H}/ C(\tau) \cong C$  et  $2\Re(\tau) \in \mathbb{Z}$ .

Soit  $\tau \in \mathcal{H}$  vérifiant  $2\Re(\tau) \in \mathbb{Z}$ , la structure réelle induite sur  $C(\tau) = \mathbb{C}/(\mathbb{Z} + \tau\mathbb{Z})$  par la conjugaison complexe de  $\mathbb{C}$  est telle que  $C(\tau)(\mathbb{R}) \neq \emptyset$ .

**(2.3) Proposition.** *Lorsque  $C$  est munie d'une structure réelle, on a*

*si  $\#C(\mathbb{R}) = 2$ , alors  $j(C) \geq 1$  et  $\exists \tau \in \mathcal{H}/ C(\tau) \cong C$  et  $\Re(\tau) \in \mathbb{Z}$*

*si  $\#C(\mathbb{R}) = 1$ , alors  $j(C) \leq 1$  et  $\exists \tau \in \mathcal{H}/ C(\tau) \cong C$  et  $2\Re(\tau)$  est un entier impair.*

(2.4) *Remarque.* Le cas  $j(C) = 1$  correspond aux courbes  $y^2 = x^3 + x$  et  $y^2 = x^3 - x$  qui sont isomorphes sur  $\mathbb{C}$  par  $(x, y) \mapsto (ix, \zeta y)$ , où  $\zeta^2 = -i$ . La première courbe possède une partie réelle connexe, la partie réelle de la seconde courbe possède deux composantes connexes.

### 3. SURFACES ELLIPTIQUES RÉELLES

On considère une surface elliptique réelle  $\pi: X \rightarrow \Delta$ . On suppose que  $\pi$  possède au moins une fibre singulière, est sans fibre multiple et qu'aucune courbe exceptionnelle n'est contenue dans une fibre.

Par hypothèse,  $\Delta$  est munie d'une involution anti-holomorphe  $\sigma$ . On note  $C_u = \pi^{-1}\{u\}$  la fibre au dessus de  $u \in \Delta$ . On considère un ensemble fini  $\Sigma \subset \Delta$  stable par  $\sigma$  tel que  $C_u$  est lisse pour tout  $u \in \Delta' = \Delta \setminus \Sigma$ . Comme  $\Sigma$  est stable par  $\sigma$ ,  $\Delta'$  munie de la restriction de  $\sigma$  est encore réelle.

L'invariant fonctionnel de  $\pi$  est la fonction méromorphe  $J: \Delta' \rightarrow \mathbb{C}, u \mapsto j(C_u)$  (cf. Section 2). Par construction  $J$  est définie sur  $\mathbb{R}$ , i.e.  $J \circ \sigma = \bar{J}$ . On peut prolonger  $J$  en une fonction holomorphe  $J: \Delta \rightarrow \mathbb{P}^1(\mathbb{C})$  qui vérifie  $J \circ \sigma = \mathrm{conj} \circ J$  où  $\mathrm{conj}$  est la conjugaison complexe sur  $\mathbb{P}^1(\mathbb{C})$ .

Maintenant  $X|_{\Delta'} = \pi^{-1}(\Delta') \rightarrow \Delta'$  est un fibré différentiel en tores, donc les groupes d'homologie des fibres  $\{H_1(C_u(\mathbb{C}), \mathbb{Z})\}_{u \in \Delta'}$  forment un faisceau localement constant au dessus de  $\Delta'$ . On peut étendre ce faisceau à  $\Delta$ , [Ko, §7]. Ce faisceau étendu  $G$  est l'invariant homologique de  $\pi$ . De même que  $J$ ,  $G$  est défini sur  $\mathbb{R}$ .

Si  $J$  est non constante, on peut étendre l'ensemble fini  $\Sigma$ , avec  $\sigma(\Sigma) = \Sigma$ , pour obtenir  $\forall u \in \Delta'$ ,  $J(u) \notin \{0, 1, \infty\}$ . On note  $\rho': \pi_1(\Delta') \rightarrow \text{SL}(2, \mathbb{Z})$  l'homomorphisme de monodromie associé. Le morphisme  $\rho'$  est une représentation de  $\pi_1(\Delta')$  qui détermine et est déterminé par le faisceau  $G$ . Comme  $\pi$  est réelle, pour tout  $\alpha \in \pi_1(\Delta')$ , on a  $\rho'(\sigma_*(\alpha)) = S(\rho'(\alpha))$  où  $\sigma^*$  est l'involution induite par  $\sigma$  sur  $\pi_1(\Delta')$  et  $S$  est définie au début de la section 2.

Soit  $u \in \Sigma$  et soit  $\alpha \in \pi_1(\Delta')$  l'élément représenté par un lacet simple tournant dans le sens positif autour de  $u$ . Le point  $u$  est un pôle de  $J$  si et seulement si l'ordre de  $\rho'(\alpha)$  est infini. Dans ce cas,  $\rho'(\alpha)$  est conjuguée dans  $\text{SL}(2, \mathbb{Z})$  à une matrice d'une des formes

$$(3.1) \quad \begin{pmatrix} 1 & m \\ 0 & 1 \end{pmatrix} \text{ ou } \begin{pmatrix} -1 & -m \\ 0 & -1 \end{pmatrix} \text{ avec } m > 0$$

cf. [Ko §9]. Dans le premier cas, on dit que la fibre  $C_u$  est du type  $I_m$  et dans le second cas, du type  $I_m^*$ .

Si  $u$  est un pôle de  $J$  appartenant à  $\Delta(\mathbb{R})$ ,  $C_u$  est réelle et les types réels possibles de  $C_u(\mathbb{R})$  sont classifiés par la table (3.2) ci-dessous extraite de [Si2, Th. VII(1.5)]. On suppose que  $\pi$  admet une section réelle, soit  $u'$  un point de  $\Delta'(\mathbb{R})$  voisin de  $u$ . Alors la fibre  $C_{u'}$  est lisse et  $C_{u'}(\mathbb{R})$  possède une ou deux composantes connexes. Dans la deuxième colonne de la table, on a indiqué le nombre de composantes connexes de  $C_{u'}(\mathbb{R})$  s'il reste constant lorsque  $u'$  varie au voisinage de  $u$  dans  $\Delta'(\mathbb{R})$ . On a indiqué "\*" si  $\#C_{u'}(\mathbb{R})$  change au voisinage de  $u$ . Les colonnes 3 et 4 donnent la caractéristique d'Euler topologique de  $C_u(\mathbb{R})$  et  $C_u$ . La dernière colonne donne le nombre  $\xi(C_u) - 1$  de composantes irréductibles de  $C_u$  qui ne rencontrent pas la section.

Type complexe	$\#C_{u'}(\mathbb{R})$	$\chi(C_u(\mathbb{R}))$	$\chi(C_u)$	$\xi(C_u) - 1$
$I_m^*, m$ pair	2	$-m - 4$	$m + 6$	$m + 4$
$I_m^*, m$ impair	1	$-m - 2$	$m$	$m - 1$
	*	$-m - 4$		
$I_m, m$ pair	*	$-m - 2$	$m$	$m - 1$
	2	$-m$		
	2	0		
	1	$-m$		
$I_m, m$ impair	1	0	$m$	$m - 1$
	*	$-m$		
	*	1		

Pour simplifier, et comme cela suffira pour la suite, on a laissé de côté les fibres singulières qui pourraient apparaître en dehors des pôles de  $J$ . Remarquons que  $\deg(D) = \sum^t m_i$  où  $t$  est le nombre de pôles de  $J$ . Pour une surface elliptique le

caractéristique d'Euler topologique vaut 12 fois la caractéristique d'Euler holomorphe  $\chi(\mathcal{O}_X)$ . Si toutes les fibres singulières de  $\pi$  sont de type  $I$  ou  $I^*$ , on tire de l'avant-dernière colonne de la table (3.2) :

$$(3.3) \quad 12\chi(\mathcal{O}_X) = \mu + 6\nu(I^*)$$

où  $\mu = \deg(J)$  et  $\nu(I^*)$  est le nombre de fibres du type  $I^*$ .

Au vu de la table 3.2, on n'a pas de formule aussi générale pour les invariants réels, voir l'exemple 4.6 et la preuve du théorème 5.3.

#### 4. SURFACES ELLIPTIQUES MODULAIRES RÉELLES

Soit  $\Gamma \subset \mathrm{PSL}(2, \mathbb{Z})$  un sous-groupe d'indice fini, en particulier  $\Gamma$  est un groupe Fuchsien arithmétique. Comme  $\Gamma$  opère sur  $\mathbb{P}^1(\mathbb{Q})$ , le quotient

$$\Delta_\Gamma = (\mathcal{H} \cup \mathbb{P}^1(\mathbb{Q}))/\Gamma$$

est bien défini. Par hypothèse, le nombre de classes de conjugaisons paraboliques de  $\Gamma$  est fini donc  $\Delta_\Gamma$  est une courbe projective lisse cf. [Shm, §1.3 et §1.5]. Si  $\Gamma \subset \Gamma'$  est un sous-groupe, alors l'application canonique de  $\mathcal{H}/\Gamma$  sur  $\mathcal{H}/\Gamma'$  s'étend en une application holomorphe de  $\Delta_\Gamma$  sur  $\Delta_{\Gamma'}$ . En particulier, on a une application holomorphe

$$J_\Gamma : \Delta_\Gamma \rightarrow \mathbb{P}^1$$

en prenant  $\Gamma' = \mathrm{PSL}(2, \mathbb{Z})$  et en identifiant  $\Delta_{\Gamma'}$  avec  $\mathbb{P}^1$  via la fonction  $j$ , cf. section 2. Si on suppose de plus que  $\Gamma$  est stable par  $S$ ,  $\Delta_\Gamma$  et  $J_\Gamma$  sont naturellement définis sur  $\mathbb{R}$ .

L'application  $J_\Gamma$  est ramifiée seulement au dessus des trois points  $0, 1$  et  $\infty$ , cf. [No, prop. 2.1]. De plus, le degré de  $J_\Gamma$  est égal à l'indice de  $\Gamma$  dans  $\mathrm{PSL}(2, \mathbb{Z})$

$$\deg J_\Gamma = [\mathrm{PSL}(2, \mathbb{Z}) : \Gamma]$$

Notons  $\Delta' = \Delta_\Gamma \setminus J_\Gamma^{-1}\{0, 1, \infty\}$  et  $p: \mathcal{H} \rightarrow \Delta'$  le revêtement universel. Par construction, il existe un isomorphisme  $w: \mathcal{H} \rightarrow \mathcal{H}$  qui fait commuter le diagramme

$$(4.1) \quad \begin{array}{ccc} \mathcal{H} & \xrightarrow{w} & \mathcal{H} \\ p \downarrow & & j \downarrow \\ \Delta' & \xrightarrow{J_\Gamma} & \mathbb{P}^1 \setminus \{0, 1, \infty\} \end{array}$$

et qui vérifie  $w \circ \sigma_{\mathcal{H}} = \sigma_{\mathcal{H}} \circ w$ . De là, il existe une unique représentation

$$\rho: \pi_1(\Delta') \rightarrow \Gamma \subset \mathrm{PSL}(2, \mathbb{Z}) .$$

telle que  $\forall \alpha \in \pi_1(\Delta'), \forall \tilde{u} \in \mathcal{H}, \rho(\alpha).w(\tilde{u}) = w(\alpha.\tilde{u})$  et  $\rho(\sigma_*(\alpha)) = S(\rho(\alpha))$ . Maintenant chaque relèvement  $\rho': \pi_1(\Delta') \rightarrow \mathrm{SL}(2, \mathbb{Z})$  de  $\rho$  vérifie encore  $\rho'(\sigma_*(\alpha)) = S(\rho(\alpha))$ . Il est facile d'adapter au cas réel la construction de Kodaira [Ko, p. 578], pour montrer qu'il existe une surface elliptique

$$\pi: X \rightarrow \Delta_\Gamma$$

définie sur  $\mathbb{R}$  et possédant une section réelle ayant pour invariants  $J$  et  $c'$

**(4.2) Définition.** Si  $-1 \notin \rho'(\pi_1(\Delta'))$ , une telle surface  $\pi: X \rightarrow \Delta_\Gamma$  est appelée surface elliptique modulaire réelle.

Pour simplifier, et ceci correspond à la restriction sur les types de fibres singulières déjà faite en section 3, on se restreint au cas où  $\Delta_\Gamma$  est sans point elliptique i.e.  $\Gamma$  est sans torsion, on a alors (cf. [Shm] ou [Sho (4.6)])

$$(4.3) \quad 2g - 2 + t = \frac{1}{6}\mu$$

où  $g$  est le genre de  $\Delta_\Gamma$ ,  $t$  est le nombre de cusps et  $\mu = [\mathrm{PSL}(2, \mathbb{Z}) : \Gamma]$ .

On note  $\{u_l\} = J_\Gamma^{-1}\{0, 1, \infty\}$  avec pour  $1 \leq l \leq t$ ,  $J(u_l) = \infty$ . Alors les fibres singulières de  $\pi: X \rightarrow \Delta_\Gamma$  sont les  $t$  fibres  $C_{u_l} = \pi^{-1}\{u_l\}$ ,  $l \leq t$  (cf. [Sho]) et le type de la fibre  $C_{u_l}$  est déterminé par  $\rho'(\alpha_l)$  où  $\alpha_l \in \pi_1(\Delta')$  est l'élément représenté par un lacet simple tournant dans le sens positif autour de  $u_l$ . Soit  $l \leq t$ , choisissons un point  $z \in \mathbb{Q} \cup \{\infty\}$  représentant  $u_l$ . Comme  $u_l$  est un cusp, le générateur du stabilisateur de  $z$  dans  $\Gamma$  est conjugué dans  $\mathrm{PSL}(2, \mathbb{Z})$  à  $\begin{pmatrix} 1 & m_l \\ 0 & 1 \end{pmatrix} \pmod{\{\pm 1\}}$ ,  $m_l > 0$  et la fibre  $C_{u_l}$  est du type  $I_{m_l}$  ou  $I_{m_l}^*$ . Les invariants numériques de  $X$  sont alors donnés par

$$(4.4) \quad \begin{aligned} q(X) &= g(\Delta_\Gamma) \\ 12\chi(\mathcal{O}_X) &= \mu + 6\nu(I^*) \end{aligned}$$

Sachant que  $\mu = \sum_{l=1}^t m_l$  et  $\nu(I^*)$  est le nombre de fibre de type  $I^*$ .

**(4.5) Lemme.** Si  $\Gamma$  est sans torsion et  $g(\Delta_\Gamma) = 0$ , il existe exactement  $t - 1$  relèvements distincts  $\rho': \pi_1(\Delta') \rightarrow \mathrm{SL}(2, \mathbb{Z})$  de  $\rho: \pi_1(\Delta') \rightarrow \mathrm{PSL}(2, \mathbb{Z})$  qui vérifient

$$\rho'(\alpha_l) = 1 \quad \text{si} \quad \rho(\alpha_l) = 1$$

où  $t$  est le nombre de cusps de  $\Delta_\Gamma$ .

C'est un cas particulier de [No, prop. 2.3].

**(4.6) Exemple.** On considère le groupe de congruence

$$\Gamma(2) = \left\{ \begin{pmatrix} a & b \\ c & d \end{pmatrix} \in \mathrm{SL}(2, \mathbb{Z}) / a \equiv d \equiv 1 \pmod{2}, b \equiv c \equiv 0 \pmod{2} \right\} / \{\pm 1\}$$

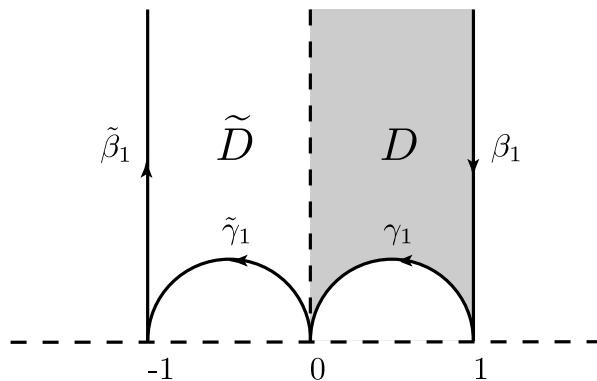


Fig. 1

On a représenté sur la figure 1 un domaine fondamental pour  $\Gamma(2)$ . Il est limité par les géodésiques  $\beta_1, \gamma_1, \tilde{\gamma}_1, \tilde{\beta}_1$ , avec les identifications  $l \sim \tilde{l}$  pour une géodésique  $l$ . Ce domaine est stable par  $\sigma_{\mathcal{H}}$ . De là, la courbe quotient  $\Delta = (\mathcal{H} \cup \mathbb{P}^1(\mathbb{Q}))/\Gamma(2)$  est munie de la structure réelle quotient et sa partie réelle  $\Delta(\mathbb{R})$  est représentée dans  $\mathcal{H}$  par la réunion des géodésiques  $\beta_1 \cup \gamma_1$  et du demi-axe imaginaire. En particulier, les trois cusps  $u_1, u_2, u_3$  de  $\Delta$ , représentés par  $0, 1$  et  $\infty$  appartiennent à  $\Delta(\mathbb{R})$ .

Remarquons au vu des identifications que  $g(\Delta) = 0$  i.e.  $\Delta \cong \mathbb{P}^1(\mathbb{C})$ .

Considérons une surface modulaire  $\pi: X \rightarrow \Delta$  associée à un relèvement, cf.(4.1),

$$\rho': \pi_1(\Delta \setminus \{u_i\}) \rightarrow \mathrm{SL}(2, \mathbb{Z})$$

La fibration  $\pi$  possède exactement trois fibres singulières du type  $I_m$  ou  $I_m^*$  et d'après (4.4), on a :

$$(4.7) \quad \begin{aligned} q(X) &= 0 \\ 12\chi(\mathcal{O}_X) &= 6 + 6\nu(I^*) \end{aligned}$$

Ce qui impose que le nombre de fibres de type  $I^*$  est impair donc égal à 1 ou 3. Dans le premier cas, les trois fibres sont  $I_2, I_2, I_2^*$ . Alors  $\chi(\mathcal{O}_X) = 1$  et  $X$  est une surface rationnelle réelle telle que  $h_1^{\mathrm{alg}}(X(\mathbb{R})) = h_1(X(\mathbb{R})) = h^{1,1}(X) = 10$ . Dans le deuxième cas, les fibres singulières sont trois  $I_2^*$ ,  $\chi(\mathcal{O}_X) = 2$  et  $X$  est une surface K3 réelle telle que  $h_1^{\mathrm{alg}}(X(\mathbb{R})) = h_1(X(\mathbb{R})) = h^{1,1}(X) = 20$ .

## 5. CONSTRUCTION DE SURFACES EXTRÉMALES

Pour une surface elliptique  $X$  régulière, on a

$$(5.1) \quad h^{1,1}(X) = 10\chi(\mathcal{O}_X).$$

En effet, d'après le théorème de décomposition de Hodge,

$$h^{1,1}(X) = \dim_{\mathbb{C}} H^2(X, \mathbb{C}) - 2 \dim_{\mathbb{C}} H^2(X, \mathcal{O}_X).$$

L'hypothèse de régularité nous donne  $\dim_{\mathbb{C}} H^2(X, \mathbb{C}) = 12\chi(\mathcal{O}_X) - 2$  (voir aussi (3.2)) et  $\dim_{\mathbb{C}} H^2(X, \mathcal{O}_X) = \chi(\mathcal{O}_X) - 1$  d'où le résultat.

**(5.2) Définition.** Une surface elliptique régulière  $\pi: X \rightarrow \mathbb{P}^1$  est dite normalisée si et seulement si

- (1) aucune courbe exceptionnelle n'est contenue dans une fibre ;
- (2)  $\pi$  est sans fibre multiple.

**(5.3) Théorème.** *Pour tout entier  $k > 0$ , il existe une surface elliptique réelle normalisée  $\pi: X_k \rightarrow \mathbb{P}^1$  qui vérifie*

$$\chi(\mathcal{O}_{X_k}) = k \quad \text{et} \quad h_1^{\text{alg}}(X_k(\mathbb{R})) = 10k$$

Avant de prouver le théorème 5.3, on montre comment on peut déduire de ce résultat le théorème 1.2 de l'introduction.

**(5.4) Théorème (Kodaira).** *Toute surface elliptique régulière  $X$  provient d'une surface elliptique normalisée  $Y$  par une succession de  $\eta$  éclatements de points et de  $\delta$  transformations logarithmiques d'ordres respectifs  $n_1 \dots, n_\delta$ .*

*Deux surfaces elliptiques régulières  $X$  et  $X'$  sont déformations l'une de l'autre si et seulement si*

- (1)  $Y$  et  $Y'$  sont déformations l'une de l'autre
- (2)  $\eta = \eta'$
- (3)  $\delta = \delta'$  et  $n_l = n'_l, \forall l \in \{1, \dots, \delta\}$

Cet énoncé est tiré de [Pe, p.306]. Le théorème suivant se trouve en première page de [Kas].

**(5.5) Théorème (Kas).** *Deux surfaces elliptiques normalisées  $Y$  et  $Y'$  sont déformations l'une de l'autre si et seulement si*

$$\chi(\mathcal{O}_Y) = \chi(\mathcal{O}_{Y'})$$

*Preuve du théorème 1.2.* Soit  $V$  une surface réelle et  $W \rightarrow V$  un éclatement centré en un point de  $V(\mathbb{R})$ , alors  $W$  est une surface réelle et

$$\begin{aligned} h^{1,1}(W) &= h^{1,1}(V) + 1, \\ h_1^{\text{alg}}(W(\mathbb{R})) &= h_1^{\text{alg}}(V(\mathbb{R})) + 1. \end{aligned}$$

Soit  $X$  une surface elliptique régulière, d'après (5.4),  $X$  provient d'une surface normalisée  $Y$  par une suite de  $\eta$  d'éclatements et  $\delta$  transformations logarithmiques. Si de plus  $X$  est sans fibre multiple, on a  $\delta = 0$ . Posons  $k = \chi(\mathcal{O}_Y)$ , et considérons une surface  $X_k$  vérifiant les hypothèses du théorème 5.3, alors  $h_1^{\text{alg}}(X_k(\mathbb{R})) = h^{1,1}(Y)$  et d'après le théorème de Kas (5.5),  $X_k$  est déformation de  $Y$ . Notons  $X'$  la surface obtenue à partir de  $X_k$  après éclatement de  $\eta$  points de  $X_k(\mathbb{R})$ . Alors  $X'$  est une déformation de  $X$  par (5.4) et  $h_1^{\text{alg}}(X'(\mathbb{R})) = h^{1,1}(X')$ . D'après (1.1), comme  $X'$  est une surface elliptique réelle régulière et sans fibre multiple, on a

$$h_1^{\text{alg}}(X'(\mathbb{R})) \leq h_1(X'(\mathbb{R})) \leq h^{1,1}(X').$$

d'où le résultat.

Le cas  $k = 1$  est traité dans l'exemple 4.6. Soit  $k \geq 2$ , à partir du domaine fondamental  $D \cup \tilde{D}$  de  $\Gamma(2)$ , cf. Fig. 1, on construit un nouveau domaine obtenu en adjoignant au triangle  $D \cup \tilde{D}$   $k - 2$  translatés de  $D$  à droite et leurs symétriques par rapport au demi-axe imaginaire. Le nouveau domaine est bordé par les géodésiques  $\beta_{k-1}, \gamma_{k-1}, \gamma_{k-2}, \dots, \gamma_1, \tilde{\gamma}_1, \dots, \tilde{\gamma}_{k-1}, \tilde{\beta}_{k-1}$  identifiées deux à deux par  $l \sim \tilde{l}$ .

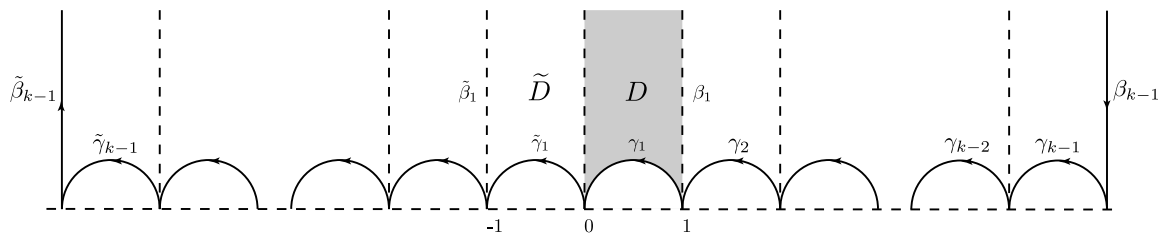


Fig. 2

C'est le domaine fondamental d'un sous-groupe  $\Gamma_k \subset \Gamma(2)$  d'indice fini dans  $\text{PSL}(2, \mathbb{Z})$ , cf. e.g. [DR]. Par construction, la courbe quotient  $\Delta_k = (\mathcal{H} \cup \mathbb{P}^1(\mathbb{Q}))/\Gamma_k$  est sans point elliptique et possède  $k + 1$  cusps.

Le domaine fondamental est stable par  $\sigma_{\mathcal{H}}$  et la courbe  $\Delta_k$  est munie de la structure réelle quotient. Sa partie réelle  $\Delta_k(\mathbb{R})$  est représentée dans  $\mathcal{H}$  par la réunion des géodésiques  $\beta_{k-1} \cup \gamma_{k-1} \cup \gamma_{k-2} \cup \dots \cup \gamma_1$  et du demi-axe imaginaire.

Au vu des identifications, on a  $g(\Delta_k) = 0$  et d'après (4.3)

$$\mu(\Gamma_k) = 6(k - 1).$$

Suivant la section 4, on a une application  $J_{\Gamma_k} : \Delta_k \rightarrow \mathbb{P}^1$  et on note  $\Delta'_k = \Delta_k \setminus J_{\Gamma_k}^{-1}\{0, 1, \infty\}$ . On peut construire pour chaque relèvement

$$\rho' : \pi_1(\Delta'_k) \rightarrow \text{SL}(2, \mathbb{Z})$$

de  $\rho : \pi_1(\Delta'_k) \rightarrow \Gamma_k \subset \text{PSL}(2, \mathbb{Z})$  une surface elliptique modulaire réelle avec section réelle

$$\pi : X \rightarrow \mathbb{P}^1$$

d'invariants  $(J_{\Gamma_k}, \rho')$ . Par construction,  $X$  possède exactement  $k + 1$  fibres singulières et ces fibres sont de type  $I_m$  ou  $I_m^*$ .

D'après les formules (4.4), la surface  $X$  vérifie :

$$\begin{aligned} q(X) &= 0 \\ 12\chi(\mathcal{O}_X) &= 6k - 6 + 6\nu(I^*) \end{aligned}$$

où  $\nu(I^*)$  est le nombre de fibres de type  $I_m^*$ . En particulier, quelque soit le choix de  $\rho'$ ,  $X$  est une surface elliptique régulière et  $h^{1,1}(X) = 10\chi(\mathcal{O}_X)$ .

Si  $k$  est impair, le nombre de fibres singulières est pair et d'après le lemme 4.5, il existe un relèvement  $\rho'$  tel que toutes les fibres singulières soient de type  $I^*$ .

Si  $k$  est pair,  $6k - 6$  n'est pas divisible par 12 et nécessairement l'une des fibres singulière est de type  $I^*$ . Donc il existe encore un relèvement de  $\rho$  tel que toutes les fibres singulières soient de type  $I^*$ . On peut donc obtenir pour tout  $k \geq 2$  une surface notée  $X_k$  dont la liste des fibres singulières est  $I_{m_1}^*, \dots, I_{m_{k+1}}^*$  avec  $\sum_l m_l = 6k - 6$ . On a alors

$$\chi(\mathcal{O}_{X_k}) = k - 1, \quad h^{1,1}(X_k) = 10k - 10.$$

Par construction, les  $k + 1$  cusps appartiennent à  $\Delta_k(\mathbb{R})$  donc les  $k + 1$  fibres de type  $I_{m_l}^*$  sont réelles. Comme  $\Gamma_k \subset \Gamma(2)$ , les cusps sont chacun conjugué (dans  $\mathrm{PSL}(2, \mathbb{Z})$ ) à un cusp  $\begin{pmatrix} 1 & m_l \\ 0 & 1 \end{pmatrix}$  avec  $m_l$  pair.

On déduit alors de la table 3.2 que le nombre de composantes connexe de la partie réelle d'une fibre réelle de  $\pi$  est constant au voisinage de chaque fibre singulière. Donc toutes les fibres lisses de  $X_k(\mathbb{R})$  ont le même nombre de composantes connexe. Par ailleurs, si on note  $\Omega$  l'image du demi-axe imaginaire par l'application canonique  $\mathcal{H} \rightarrow \Delta_k = (\mathcal{H} \cup \mathbb{P}^1(\mathbb{Q}))/\Gamma_k$ , on a  $\Omega \subset \Delta_k(\mathbb{R})$ . D'après les propositions 2.2 et 2.3, on a  $J(u) > 1$  pour presque tout les points  $u$  de  $\Omega$  donc  $\#C_u(\mathbb{R}) = 2$ . D'après ce qui précède, on a plus généralement  $\#C_u(\mathbb{R}) = 2$  pour toute les fibres réelles lisses de  $\pi$ .

Par construction,  $X_k(\mathbb{R})$  est connexe et  $h_1(X_k(\mathbb{R})) = 2 - \sum_l \chi(C_{u_l}(\mathbb{R}))$ . De nouveau à partir de la table (3.2), maintenant qu'on connaît le nombre de composantes au voisinage de chaque cusp  $u_l$ , on déduit  $\chi(C_{u_l}(\mathbb{R})) = -m_l - 4$ . De plus, d'après [Si2, VII.1], les composantes irréductibles réelles d'une fibre de type  $I^*$  qui ne rencontrent pas la section sont indépendantes. De là

$$-\chi(C_{u_l}(\mathbb{R})) = \xi(C_{u_l}) - 1$$

et

$$h_1^{\mathrm{alg}}(X_k(\mathbb{R})) = 2 + \sum_l m_l + 4(k + 1) = 10k$$

La proposition suivante sert à déterminer le type topologique des surfaces  $X_k(\mathbb{R})$ .

**(5.6) Proposition.** *Soit  $X \rightarrow \mathbb{P}^1$  une surface elliptique réelle normalisée, si  $\chi(\mathcal{O}_X)$  est pair et  $X(\mathbb{R}) \neq \emptyset$ , alors*

$$X(\mathbb{R}) \text{ est orientable.}$$

*si  $\chi(\mathcal{O}_X)$  est impair et  $X$  admet une section définie sur  $\mathbb{R}$ , alors*

$$X(\mathbb{R}) \neq \emptyset \text{ et } X(\mathbb{R}) \text{ est non orientable.}$$

*Preuve.* Sous les hypothèses considérées, un diviseur canonique de  $X$  est donné par (cf. e.g. [BPV, p. 162]) :

$$K_X = (\chi(\mathcal{O}_X) - 2)F$$

où  $F$  est une fibre quelconque. La classe  $w_1(X(\mathbb{R})) \in H_1(X(\mathbb{R}), \mathbb{Z}/2)$ , duale de Poincaré de la 1ère classe de Stiefel-Whitney, est représentée par  $K_X(\mathbb{R})$  et pour tout diviseur réel  $D$  de  $X$ , on a

$$(5.7) \quad D.K_X \equiv D(\mathbb{R}) \cap K_X(\mathbb{R}) \pmod{2}$$

Dans le cas où  $\chi(\mathcal{O}_X)$  est pair,  $K_X \equiv 0 \pmod{2}$  d'où  $w_1(X(\mathbb{R})) = 0$  et  $X(\mathbb{R})$  est orientable. Maintenant, supposons que  $\chi(\mathcal{O}_X)$  est impair et notons  $S$  la courbe image dans  $X$  d'une section définie sur  $\mathbb{R}$ , on a

$$S.K_X \equiv 1 \pmod{2}$$

donc  $X(\mathbb{R}) \neq \emptyset$  car nécessairement il existe un point de  $S \cap K_X$  dans  $X(\mathbb{R})$ . On a alors  $w_1(X(\mathbb{R})) \neq 0$  d'après (5.7) et  $X(\mathbb{R})$  est non orientable.

On note  $S_g$  la surface (topologique) orientable de genre  $g$  et  $V_q = \#_q \mathbb{P}^2(\mathbb{R})$  la surface non orientable de caractéristique d'Euler 2.

**(5.8) Corollaire.** *Soit  $X_k$  une surface vérifiant les hypothèses du théorème 5.3, alors si  $k$  est pair,  $X_k(\mathbb{R}) = S_{5k}$  et si  $k$  est impair,  $X_k(\mathbb{R}) = V_{10k}$ .*

Par hypothèse, on a  $h_1(X_k(\mathbb{R})) = 10k$  et l'orientabilité est donnée par la proposition 5.6. Il reste à montrer que la surface  $X_k(\mathbb{R})$  est connexe. C'est une conséquence de l'inégalité de Comessatti

$$2\#X(\mathbb{R}) - h_1(X(\mathbb{R})) \leq h^{1,1}(X) - 2(r(X) - 1)$$

valable pour une surface réelle  $X$  quelconque où  $r(X)$  désigne le nombre de classes réelles indépendantes dans le groupe de Néron-Severi de  $X$ . Comme  $X_k$  est normalisée, on a  $h_1^{\text{alg}}(X_k(\mathbb{R})) \leq r(X_k) \leq h^{1,1}(X_k)$ , voir par exemple [Si2, III(1.10)], donc  $\#X_k(\mathbb{R}) = 1$ .

#### RÉFÉRENCES BIBLIOGRAPHIQUES

- [BPV] W. Barth, C. Peters, A. Van de Ven, *Compact complex surfaces*, Ergebnisse der Mathematik, Springer, Berlin Heidelberg, 1984.
- [BH] E. Borel, A. Haefliger, *La classe d'homologie fondamentale d'un espace analytique*, Bul. Soc. Math. France **83** (1961), 461–513.
- [DKh] A. Degtyarev, V. Kharlamov, *Topological classification of real Enriques surfaces*, Topology **35** (1996), no. 3, 711–730.
- [DR] G. de Rham, *Sur les polygones générateurs de groupes Fuchsians*, L'ens. Math. **17** (1971), no. 1, 49–61.
- [Kas] A. Kas, *On the deformation types of regular elliptic surfaces*, Complex analysis and algebraic geometry (W. Baily, T. Shioda, eds.), Cambridge university press, Cambridge London New York, 1977.
- [Kat] S. Katok, *Fuchsian groups*, Chicago Lectures in Mathematics, The University of Chicago Press, Chicago, 1992.
- [Kha] V. Kharlamov, *Communication privée*.
- [Ko] K. Kodaira, *On the structure of compact complex analytic surfaces II & III*, Amer. J. Math. **88** & **90** (1966 & 1968), 682–721 & 56–83.
- [Ma] F. Mangolte, *Cycles algébriques sur les surface  $K3$  réelles*, Math. Z. **225** (1997), no. 4, 559–576.
- [MavH] F. Mangolte, J. van Hamel, *Algebraic cycles and topology of real Enriques surfaces*, Compos. Math. **110** (1998), no. 2, 215–237.
- [No] M. Nori, *On certain elliptic surfaces with maximal Picard number*, Topology **24** (1984), 175–186.
- [Pe] U. Persson, *Horikawa surfaces with maximal Picard number*, Math. Ann. **259** (1982), 287–312.
- [Shm] G. Shimura, *Introduction to the arithmetic theory of automorphic functions*, Princeton Univ. Press, 1971.
- [Sho] T. Shioda, *On elliptic modular surfaces*, J. Math. Soc. Japan **24** (1972), 20–59.
- [Si1] R. Silhol, *Real algebraic surfaces with rational or elliptic fiberings*, Math. Z. **186** (1984), 465–499.
- [Si2] R. Silhol, *Real algebraic surfaces*, Lectures notes in Math., vol. 1392, Springer, Berlin Heidelberg New York, 1989.
- [Si3] R. Silhol, *Compactifications of moduli spaces in real algebraic geometry*, Invent. Math. **107** (1992), 151–202.
- [Sil] J. H. Silverman, *The arithmetic of elliptic curves*, Graduate Texts in Math., vol. 106, Springer-Verlag, New York, 1986.